

СООБЩЕНИЯ
ОБЪЕДИНЕННОГО
ИНСТИТУТА
ЯДЕРНЫХ
ИССЛЕДОВАНИЙ

ДУБНА



СЗ46.У6

Б-484

8/14-75

P1 - 8944

3344/2-75

С.Ф.Бережнев, Г.И.Смирнов

РАЗРЕШАЮЩАЯ СПОСОБНОСТЬ
ЭКСПЕРИМЕНТАЛЬНОЙ УСТАНОВКИ
ДЛЯ ИССЛЕДОВАНИЯ ПРОЦЕССА



1975

P1 - 8944

С.Ф.Бережнев, Г.И.Смирнов

РАЗРЕШАЮЩАЯ СПОСОБНОСТЬ
ЭКСПЕРИМЕНТАЛЬНОЙ УСТАНОВКИ
ДЛЯ ИССЛЕДОВАНИЯ ПРОЦЕССА



Объединенный институт
ядерных исследований
БИБЛИОТЕКА

В В Е Д Е Н И Е

Процесс обратного электророждения пионов $\pi^- p \rightarrow e^+ e^- n$ характеризуется малыми дифференциальными сечениями /1/. Для получения большого количества статистического материала используют детектирующие установки с большими телесными углами регистрации /2/, что позволяет детектировать события в широком интервале изменения кинематических переменных. При этом становится невозможным вычисление сечений в рамках теоретических моделей аналитически. Проблема вычисления сечений решается с помощью метода Монте-Карло. Для этого проводится моделирование образования частиц в исследуемом процессе, моделирование условий регистрации электронов детекторами и моделирование процедуры отбора событий процесса $\pi^- p \rightarrow e^+ e^- n$. Для вычисления сечений затем используются параметры отобранных событий.

В настоящей работе рассматривается процедура вычисления основных кинематических переменных процесса $\pi^- p \rightarrow e^+ e^- n$, а также выбора оптимальной геометрии детекторов для регистрации этого процесса. В работе проводится вычисление аппаратурных функций экспериментальной установки, регистрирующей основные кинематические параметры исследуемого процесса.

1. Кинематика процесса $\pi^- p \rightarrow e^+ e^- n$

Рассматриваемый процесс обратного электророждения пионов описывается пятью независимыми кинематическими переменными. Одна из них — полная энергия в πN -системе центра масс W — фиксирована энергией налетающего пиона.

Вторая кинематическая переменная – квадрат передаваемого четырехимпульса k^2 – выражается при помощи энергий и угла разлета электронов в лабораторной системе:

$$k^2 = 4 E_1 E_2 \sin^2(\theta_e^{l.c.}/2).$$

При этом максимальное значение передаваемого четырехимпульса ограничено энергией налетающего пиона:

$$k_{max}^2 = (W - M)^2,$$

где M – масса нуклона. Минимальное значение k_{min}^2 определяется эффективностью регистрации электронов малых энергий черенковскими спектрометрами полного поглощения и составляет в нашем случае $0,75 \text{ фм}^{-2}$.

Смысл следующих двух кинематических переменных – угла вылета фотона θ^x в πN с.ц.м. и угла φ между плоскостью реакции $\pi^- p \rightarrow n \gamma_\nu$ и плоскостью распада виртуального фотона γ_ν ясен из рис. I, на котором показана система центра масс сталкивающихся частиц: пиона q и протона p . Таким образом, единичный вектор \hat{q} , направленный вдоль импульса пиона, равен:

$$\hat{q} = (-\sin \theta^x, 0, -\cos \theta^x).$$

В программе моделирования процесса $\pi^- p \rightarrow e^+ e^- n$ система с.м. пиона и нуклона выбирается так, чтобы ось Z совпадала по направлению с импульсом нейтрона p_n . Обозначим выбранную таким образом систему "N". Для определения осей X и Y системы "N" вычисляются единичные векторы \hat{x} и \hat{y} , направленные вдоль этих осей:

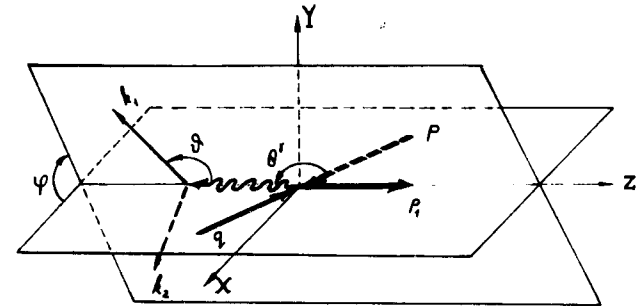


Рис. I Система "N" центра масс пиона - q и протона - p .

$$\begin{aligned}\hat{\vec{v}} &= -\frac{[\vec{k} \times \vec{q}]}{|[\vec{k} \times \vec{q}]|} = (0, 1, 0), \\ \hat{\vec{\alpha}} &= -\frac{[\vec{k} \times \hat{\vec{v}}]}{|[\vec{k} \times \hat{\vec{v}}]|} = (1, 0, 0).\end{aligned}$$

Для вычисления угла φ строится единичный вектор $\vec{\beta}$, который совпадает с проекцией импульса электрона \vec{k}_1 на плоскость XY:

$$\vec{\beta} = (k_{1x}/\sqrt{k_{1x}^2 + k_{1y}^2}; k_{1y}/\sqrt{k_{1x}^2 + k_{1y}^2}; 0).$$

Тогда

$$\begin{aligned}\cos \varphi &= \vec{\beta} \hat{\vec{\alpha}} = \beta_1, \\ \sin \varphi &= \vec{\beta} \hat{\vec{v}} = \beta_2.\end{aligned}$$

Поэтому

$$\varphi = \begin{cases} \arccos \beta_1, & \beta_2 \geq 0; \\ 2\pi - \arccos \beta_1, & \beta_2 < 0. \end{cases}$$

Таким образом, кинематическая переменная θ^x принимает значения в интервале углов от 0 до π , а переменная φ - в интервале от 0 до 2π .

Пятая кинематическая переменная - угол θ между направлениями вылета электрона и нейтрона - вычисляется в системе ц.м. электрона и позитрона. Этот угол связан с углом ϑ , вычисленным в системе "N" /см. рис.1/ с помощью лоренц-преобразования:

$$\operatorname{tg} \theta = \frac{\sqrt{k^2} |\vec{k}_1| \sin \vartheta}{|\vec{k}| k_{10} + k_0 |\vec{k}_1| \cos \vartheta} = T.$$

Тогда

$$\theta = \begin{cases} \arctg T, & T \geq 0, \\ \pi + \arctg T, & T < 0. \end{cases}$$

Здесь $k_1 = (k_{10}, \vec{k}_1)$ - четырехимпульс электрона, k_0 - полная энергия фотона в πN с.ц.м.

В программе моделирования процесса $\pi^+ p \rightarrow e^+ e^- n$ векторное произведение векторов вычисляется с помощью программы-функции "VECT", для вычисления модуля вектора используется программа-функция "AMO". Векторы-импульсы, заданные в программе "USER" /4/, с помощью программы "ROT" преобразуются в систему "N". В этой системе координат программа "ANG" вычисляет кинематические переменные θ , φ и θ^x , а также ряд вспомогательных величин.

С помощью определенных выше кинематических переменных дифференциальное сечение рассматриваемого процесса может быть записано в следующем виде /3/:

$$\frac{d^3\sigma}{d\Omega_k d\Omega_{\vec{k}} dk^2} = \Phi(W, k^2) \left[A(W, k^2, \theta^x)(1 + \cos^2\theta) + B(W, k^2, \theta^x) \sin^2\theta \cos 2\varphi + \frac{k^2}{k_0^2} C(W, k^2, \theta^x) \sin^2\theta + \frac{\sqrt{k^2}}{k_0} D(W, k^2, \theta^x) \sin 2\theta \cos \varphi \right], \quad (1)$$

где $\Phi(W, k^2)$ - известная функция, $d\Omega_k$ - элемент телесного угла для фотона в πN с.ц.м., $d\Omega_{\vec{k}}$ - элемент телесного угла электрона в системе ц.м. e^+e^- пары. Функции A, B, C и D связаны с парциальными сечениями образования виртуальных фотонов с различными поляризационными состояниями.

Для регистрации электронов, образующихся в процессе $\pi^+ p \rightarrow e^+ e^- n$, используют два телескопа счетчиков /2/, расположенных симметрично по отношению к пучку π - мезонов. На рис. 2а и 2б показаны два

варианта расположения детекторов с малой апертурой в системе центра масс пиона и нуклона.

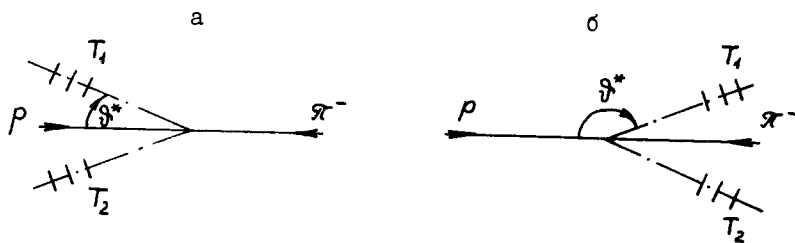


Рис. 2 Способы расположения детекторов в πN с.ц.м. для регистрации электронов исследуемого процесса.

В случае 2а установка отбирает события, в которых образующийся виртуальный фотон вылетает "вперед", а в случае 2б - "назад". Очевидно, что в обоих случаях детекторы выделяют плоскость распада виртуального фотона, которая практически совпадает с плоскостью реакции. Таким образом, область изменения переменной φ ограничивается в окрестности точек 0° и 180° ($|\cos \varphi| \approx 1$), что приводит к максимальному усилению вклада члена $D(W, k^2, \theta^i)$ в выражении (I). Функция $D(W, k^2, \theta^i)$ соответствует интерференции амплитуд рождения поперечных и продольных фотонов. Вклад интерференции в сечение рассматриваемого процесса увеличивает число неизвестных амплитуд и усложняет проведение феноменологического анализа амплитуд образования поперечных неполяризованных фотонов /функция $A(W, k^2, \theta^i)$ / и продольно поляризованных /функция $C(W, k^2, \theta^i)$ / фотонов. Если расположить детекторы в πN с.ц.м. на одной оси под углом $\vartheta^* = 90^\circ$ к направлению импульса пиона, то в этом случае установка будет преимущественно отбирать те события,

в которых виртуальный фотон вылетает под углом $\sim 90^\circ$ к направлению импульса пиона. Угол между плоскостью распада фотона и плоскостью реакции в этом случае не фиксирован, что приводит к существенному уменьшению вклада в наблюдаемое сечение от интерференции амплитуд образования поперечных и продольных фотонов. Эта геометрия является оптимальной для исследования амплитуд процесса $\pi^- p \rightarrow e^+ e^- n$ с помощью феноменологического анализа. Воспользовавшись лоренц-преобразованием, можно определить угол ϑ , под которым надо располагать детекторы в л.с. координат, для того, чтобы регистрировать фотоны, вылетающие в πN с.ц.м. под углом $\vartheta^* = 90^\circ$:

$$\operatorname{tg} \vartheta = \frac{P_e}{\gamma \beta E_e} = \frac{1}{\gamma \beta} = \frac{W}{|\vec{q}|}$$

где \vec{q} - импульс пиона в л.с. координат.

Т а б л и ц а I

| W, МэВ | I23I | I295 | I335 |
|-------------|----------------|----------------|----------------|
| ϑ | $76^\circ 25'$ | $73^\circ 15'$ | $71^\circ 30'$ |

В таблице I приведены значения углов, под которыми следует располагать оси телескопов, детектирующих электроны, для создания оптимальных условий регистрации процесса $\pi^- p \rightarrow e^+ e^- n$.

2. Энергетическое разрешение черенковских спектрометров полного поглощения

Для определения энергетического разрешения черенковских спектрометров полного поглощения проводились измерения на электронном

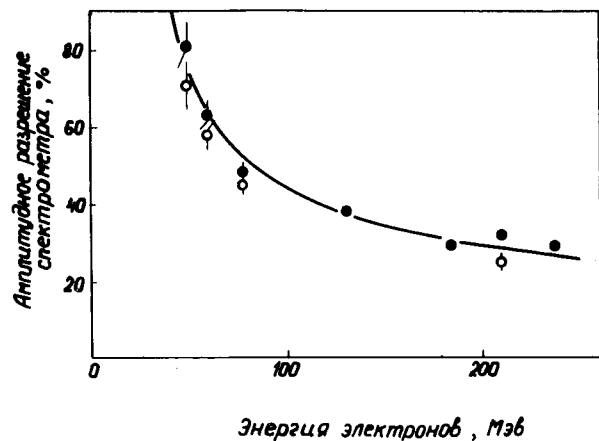


Рис. 3 Зависимость разрешения черенковского спектрометра полного поглощения от энергии электронов. Результаты измерений для спектрометров СП-1 и СП-2 показаны соответственно заштрихованными и незаштрихованными кружочками. Сплошная кривая получена подгонкой данных для спектрометра СП-1 по формуле (2).

пучке. Результаты измерений, поправленные на разброс электронов в пучке по энергии, приведены на рис. 3. Сплошная кривая на рис. 3 получена подгонкой результатов измерений для спектрометра СП-1 с помощью следующей формулы:

$$\Delta = \frac{a}{\sqrt{E - \beta}}, \quad (2)$$

где Δ - ширина кривой разрешения на полувысоте в %, E - энергия электронов на входе бокового телескопа, β - величина амплитудного порога в МэВ, a - варьируемый параметр. Значения параметров a и β для обоих спектрометров приведены в таблице II:

Т а б л и ц а II

| | a | β |
|------|--------------|---------|
| СП-1 | 386 ± 10 | 24 |
| СП-2 | 343 ± 11 | 27 |

Было замечено, что с увеличением угла между нормалью к спектрометру и осью электронного пучка наблюдается уменьшение амплитуды \tilde{E} , измеряемой спектрометром. Это уменьшение достаточно точно описывается функцией косинуса

$$\tilde{E} = E \cos \varphi. \quad (3)$$

Условия регистрации электронов в спектрометрах моделируются с помощью программы "ERROR2". Энергия электронов, вычисленная в программе "USER", корректируется согласно выражению (3), а затем подвергается "размазке" в соответствии с нормальным распределением.

Параметр, определяющий дисперсию этого распределения, вычисляется с помощью формулы (2).

3. Погрешности определения углов вылета электронов

Ошибки определения координат треков и углов вылета электронов по снимкам с искровых камер обусловлены двумя факторами. Первым фактором является многократное кулоновское рассеяние /МКР/, которое испытывают электроны при прохождении через водород мишени и металлические детали вакуумного кожуха мишени. Вторым - погрешности измерения треков на снимках с искровых камер.

Как вследствие сложной геометрии рассеивателей, так и широкой области изменения кинематических переменных точное вычисление ошибок многократного рассеяния проводилось методом Монте-Карло с помощью программ, описанных в работе /6/. При этом моделирование производилось в соответствии с распределением Мольера. В результате такого моделирования для каждого из рассеивателей были получены интегральные /как по углу входа частицы в рассеиватель, так и по импульсу частицы/ распределения по углу многократного кулоновского рассеяния. Для того, чтобы не повторять громоздкие вычисления при моделировании условий регистрации электронов, были сделаны следующие допущения: предполагалось, что полученные распределения по углу МКР, во-первых, характеризуют рассеяние электронов с энергией $E_{\text{ср}} = 182 \text{ МэВ}$ /что соответствует среднему значению энергии в исследуемом процессе/ и, во-вторых, могут быть приближенно описаны кривой Гаусса с параметром $\sigma_{\text{ср}}$. Тогда при моделировании условий регистрации электронов с энергией E угол МКР

может быть быстро вычислен в соответствии с нормальным распределением, параметр которого равен:

$$\sigma_{\text{МКР}} = \sigma_{\text{ср}} \frac{E_{\text{ср}}}{E}$$

Изучение результатов многократного измерения треков на полуавтоматах ПУОС-50 и на сканирующем автомате АЭЛТ-1 показало, что погрешности, вносимые этими приборами, могут быть описаны нормальным распределением с параметром $\sigma_{\text{изм}} = 1,0^\circ /7/$.

Величины $\sigma_{\text{МКР}}$ и $\sigma_{\text{изм}}$ поступают в программу "ERROR2", которая производит "размазывание" компонент трехимпульсов частиц, поступающих из программы "USER".

4. Разрешение установки по кинематическим переменным

Для определения формфакторов пиона и нуклона в области малых времениподобных передаваемых 4- импульсов k^2 производится анализ формы угловых распределений по кинематическим переменным, получаемым при регистрации процесса $\pi^- p \rightarrow e^+ e^- n$ /1/. Определение разрешающей способности экспериментальной установки по кинематическим переменным k^2 , $\cos \theta^*$, $\cos \theta$ и $\cos \varphi$ проводилось с помощью моделирования методом Монте-Карло. Блок-схема процедуры моделирования показана на рис. 4.

Значения кинематических переменных, вычисленных по параметрам разыгранных "неразмязанных" событий в программе "KINPAR", поступают в программу "COMPA". С другой стороны, в программу "COMPA" поступают значения кинематических переменных, вычисленных в про-

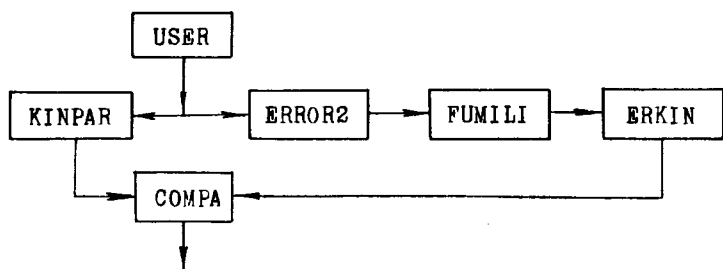


Рис. 4 Схема вычислений разрешающей способности экспериментальной установки.

грамме "ERKIN" по параметрам событий, подвергшихся сначала "размазке" в программе "ERROR2", а затем минимизации по программе "FUMILI" /8/. При минимизации использовался квадратичный функционал, описанный в работе /5/. Программа "COMPA", сравнивая полученные значения кинематических переменных, вычисляет среднее и среднеквадратичное значения ошибок в определении кинематических переменных. Величины стандартных отклонений, характеризующих разрешение по кинематическим переменным как функцию квадрата передаваемого четырехимпульса, показаны на рис. 5 */.

Видно, что величина разрешения по квадрату передаваемого 4-импульса позволяет проводить разбиение области изменения переменной k^2 на 5 интервалов. Область изменения переменной $\cos \theta^x$, которая обладает наибольшей чувствительностью к формфакторам пиона и нуклона /1/, можно разбивать на 10 интервалов, что позволяет

*/ При вычислении разрешений была проведена коррекция параметров, приведенных в таблице II, которая учитывала неоднородность спектрометра по координате входящей в него частицы.

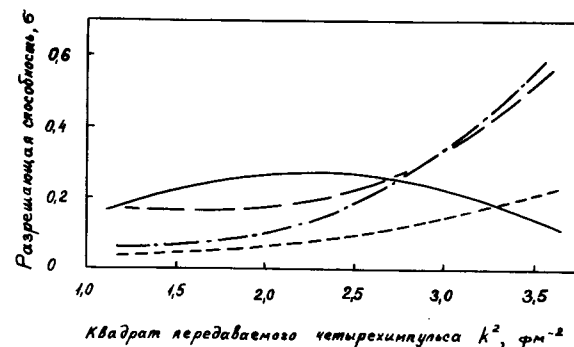


Рис. 5 Зависимость разрешающей способности по кинематическим переменным k^2 ———, $\cos \theta^x$ - - - -, $\cos \theta$ — · — и $\cos \varphi$ — — — от квадрата передаваемого четырехимпульса.

провести детальный анализ регистрируемых в эксперименте распределений по углу вылета виртуального фотона.

В заключение авторы выражают благодарность Л.Л.Неменову за поддержку настоящей работы.

ЛИТЕРАТУРА

1. С.Ф.Бережнев, Л.С.Вертоградов, А.В.Демьянов, А.В.Куликов, А.В.Купцов, Г.Г.Мкртчян, Л.Л.Неменов, Г.И.Смирнов, Д.М.Хазинс, Ю.М.Чиркин. ИФ, 16, 185, 1972.
2. С.Ф.Бережнев, А.В.Демьянов, А.В.Куликов, А.В.Купцов, Г.Г.Мкртчян, Л.Л.Неменов, М.П.Пустыльник, Г.И.Смирнов, А.Г.Федунов, Д.М.Хазинс, Ю.М.Чиркин. ОИИИ, 13-6192, Дубна, 1971 ; А.В.Демьянов, А.В.Купцов, В.П.Курочкин, Л.Л.Неменов, В.И.Сидорова, Г.И.Смирнов, В.Л.Трифонов, Д.М.Хазинс. ОИИИ, 13-7683, Дубна, 1974.
3. Ю.С.Суровцев, Е.Г.Ткебучава. ОИИИ, Р2-4561, Дубна, 1969.
4. Программа W-505, Библиограф. программ на ФОРТРАНЕ, т.2, Депонированные публ. ОИИИ, Б1-11-5145, Дубна, 1969 ; Б1-11-5649, Дубна, 1970.
5. С.Ф.Бережнев, Г.И.Смирнов. ОИИИ, Р10-8945, Дубна, 1975.
6. А.В.Куликов, Г.И.Смирнов. ОИИИ, 10-5386, Дубна, 1970.
7. Э.Д.Лапчик, М.П.Пустыльник, Л.Б.Тутышкина, Д.М.Хазинс, Э.В.Нарапова, В.Н.Вкуленков. ОИЯК, 10-8172, Дубна, 1974.
8. Программа D-520. Библиограф. программ на Фортране, т.1, депонированные публ. ОИИИ, Б1-11-5144, Дубна, 1969 ; Б1-11-5651, Дубна, 1970.

Рукопись поступила в издательский отдел
9 июня 1975 года.